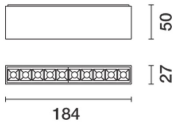
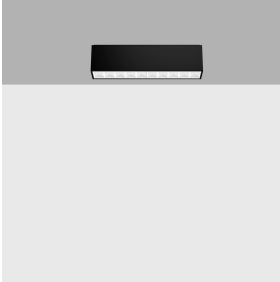


Letzte Aktualisierung der Informationen: Oktober 2024

Produktkonfiguration: Q892

Q892: LB XS lineare Deckenleuchte GL Pro - 10 Zellen - Remote-Vorschaltgerät



Produktcode

Q892: LB XS lineare Deckenleuchte GL Pro - 10 Zellen - Remote-Vorschaltgerät

Beschreibung

Leuchte für die Montage an der Decke, mit 10 Optik-Elementen für LED-Leuchtmittel - starre Optiken mit Hochauflösungsreflektoren Opti-Beam aus metallisiertem Thermoplast. Dank der patentierten Technologie des optischen Systems ist trotz der minimalen Leuchtenabmessungen ein hoher Lichtfluss gewährleistet, optimiert durch einen speziellen Streufilter, der die Direktblendung bedeutend senkt. Hauptkorpus und Technikkorpus für die Wärmeableitung aus stranggepresstem Aluminium - Befestigungsplatte aus profiliertem Stahl. Versorgungseinheit nicht inbegriffen, mit separatem Code erhältlich.

Installation

An der Decke mittels Deckenbefestigungsplatte (Schrauben und Dübel nicht inbegriffen) - externes Befestigungssystem.

Farben

Weiß (01) | Schwarz/Weiss (F2)

Gewicht (Kg)

0.3

Montage

Deckenanbauleuchte

Verkabelung

Im Lieferumfang enthaltene Kabel mit Schnellanschlussklemmen für den Anschluss ans Versorgungsnetz.

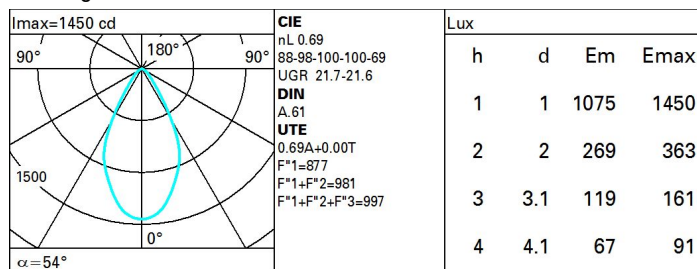
Gemäß der Normen EN60598-1 u. Sondernormen



Technische Daten

| | | | |
|---|------|---------------------------------|---------------------------------|
| Im System: | 1208 | Farbtemperatur [K]: | 2700 |
| W System: | 20 | MacAdam Step: | 2 |
| Im Lichtquelle: | 1750 | Lebensdauer LED 1: | > 50,000h - L80 - B10 (Ta 25°C) |
| W Lichtquelle: | 20 | Lampencode: | LED |
| Lichtausbeute (lm/W, Systemwert): | 60.4 | Anzahl Lampen in Leuchtgehäuse: | 1 |
| Im im Nichtlichtbetrieb: | - | ZVEI-Code: | LED |
| abgegebener Lichtstrom bei/ über einem Winkel von 90° [lm]: | 0 | Anzahl Leuchtgehäuse: | 1 |
| Leuchtenbetriebswirkungsgrad 69 (L.O.R.) [%]: | | LED Strom [mA]: | 700 |
| CRI (minimum): | 90 | | |

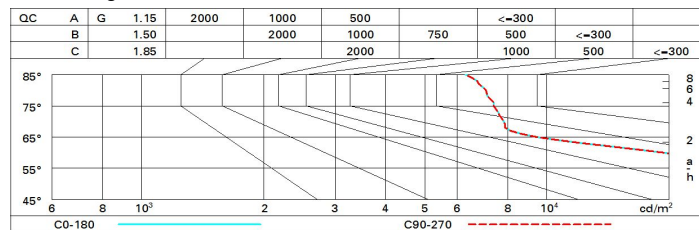
Polardiagramm



Wirkungsgrad

| R | 77 | 75 | 73 | 71 | 55 | 53 | 33 | 00 | DRR |
|------|----|----|----|----|----|----|----|----|-----|
| K0.8 | 58 | 54 | 51 | 49 | 54 | 51 | 51 | 48 | 69 |
| 1.0 | 62 | 58 | 55 | 53 | 57 | 55 | 54 | 52 | 75 |
| 1.5 | 66 | 63 | 61 | 59 | 62 | 60 | 60 | 57 | 83 |
| 2.0 | 69 | 66 | 65 | 63 | 65 | 64 | 63 | 61 | 88 |
| 2.5 | 70 | 68 | 67 | 66 | 67 | 66 | 65 | 63 | 92 |
| 3.0 | 71 | 70 | 69 | 68 | 69 | 68 | 67 | 65 | 94 |
| 4.0 | 72 | 71 | 70 | 70 | 70 | 69 | 68 | 66 | 96 |
| 5.0 | 73 | 72 | 71 | 71 | 71 | 70 | 69 | 67 | 97 |

Söllner-Diagramm



UGR-Diagramm

| Corrected UGR values (at 1750 lm bare lamp luminous flux) | | | | | | | | | | | |
|---|------|------------------|------|------|------|------|----------------|------|------|------|------|
| Reflect.: | | viewed crosswise | | | | | viewed endwise | | | | |
| ceil/cav | | 0.70 | 0.70 | 0.50 | 0.50 | 0.30 | 0.70 | 0.70 | 0.50 | 0.50 | 0.30 |
| walls | | 0.50 | 0.30 | 0.50 | 0.30 | 0.30 | 0.50 | 0.30 | 0.50 | 0.30 | 0.30 |
| work pl. | | 0.20 | 0.20 | 0.20 | 0.20 | 0.20 | 0.20 | 0.20 | 0.20 | 0.20 | 0.20 |
| Room dim | | viewed crosswise | | | | | viewed endwise | | | | |
| x | y | | | | | | | | | | |
| 2H | 2H | 21.7 | 22.4 | 22.0 | 22.7 | 22.9 | 21.7 | 22.4 | 22.0 | 22.7 | 22.9 |
| | 3H | 21.7 | 22.3 | 22.0 | 22.6 | 22.9 | 21.7 | 22.4 | 22.0 | 22.6 | 22.9 |
| | 4H | 21.7 | 22.3 | 22.0 | 22.6 | 22.9 | 21.7 | 22.3 | 22.0 | 22.6 | 22.9 |
| | 6H | 21.6 | 22.2 | 22.0 | 22.5 | 22.9 | 21.6 | 22.2 | 21.9 | 22.5 | 22.8 |
| | 8H | 21.6 | 22.2 | 22.0 | 22.5 | 22.8 | 21.6 | 22.1 | 21.9 | 22.4 | 22.8 |
| 12H | 21.6 | 22.1 | 22.0 | 22.5 | 22.8 | 21.5 | 22.0 | 21.9 | 22.4 | 22.7 | |
| 4H | 2H | 21.7 | 22.3 | 22.0 | 22.6 | 22.9 | 21.7 | 22.3 | 22.0 | 22.6 | 22.9 |
| | 3H | 21.7 | 22.2 | 22.0 | 22.5 | 22.9 | 21.7 | 22.2 | 22.1 | 22.6 | 22.9 |
| | 4H | 21.7 | 22.1 | 22.1 | 22.5 | 22.9 | 21.7 | 22.1 | 22.1 | 22.5 | 22.9 |
| | 6H | 21.7 | 22.1 | 22.1 | 22.5 | 22.9 | 21.6 | 22.0 | 22.0 | 22.4 | 22.8 |
| | 8H | 21.7 | 22.0 | 22.1 | 22.4 | 22.9 | 21.6 | 22.0 | 22.0 | 22.4 | 22.8 |
| 12H | 21.7 | 22.0 | 22.1 | 22.4 | 22.9 | 21.5 | 21.9 | 22.0 | 22.3 | 22.8 | |
| 8H | 4H | 21.6 | 22.0 | 22.0 | 22.4 | 22.8 | 21.7 | 22.0 | 22.1 | 22.4 | 22.9 |
| | 6H | 21.6 | 21.9 | 22.1 | 22.4 | 22.9 | 21.7 | 22.0 | 22.1 | 22.4 | 22.9 |
| | 8H | 21.6 | 21.9 | 22.1 | 22.4 | 22.9 | 21.6 | 21.9 | 22.1 | 22.4 | 22.9 |
| | 12H | 21.6 | 21.9 | 22.2 | 22.4 | 22.9 | 21.6 | 21.8 | 22.1 | 22.3 | 22.8 |
| 12H | 4H | 21.5 | 21.9 | 22.0 | 22.3 | 22.8 | 21.7 | 22.0 | 22.1 | 22.4 | 22.9 |
| | 6H | 21.6 | 21.9 | 22.1 | 22.3 | 22.8 | 21.7 | 21.9 | 22.1 | 22.4 | 22.9 |
| | 8H | 21.6 | 21.8 | 22.1 | 22.3 | 22.8 | 21.6 | 21.9 | 22.2 | 22.4 | 22.9 |
| Variations with the observer position at spacing: | | | | | | | | | | | |
| S = | 1.0H | 2.4 / -2.2 | | | | | 2.4 / -2.2 | | | | |
| | 1.5H | 4.5 / -4.7 | | | | | 4.5 / -4.7 | | | | |
| | 2.0H | 6.3 / -6.0 | | | | | 6.3 / -6.0 | | | | |